

**НЕЛИНЕЙНЫЕ ВОЛНЫ НА ПОВЕРХНОСТИ ПЛЕНКИ ЖИДКОСТИ,
СТЕКАЮЩЕЙ ПО ВЕРТИКАЛЬНОЙ СТЕНКЕ**

Ю. Я. Трифонов, О. Ю. Цвелодуб

(Новосибирск)

Из эксперимента известно [1, 2], что характер течения пленки жидкости по вертикальной плоскости является волновым уже при малых числах Рейнольдса. Это связано с тем, что течение пленки толщиной h с плоской свободной поверхностью, профиль скорости которого представляет собой полупарabolу $u = 3u_0(y/h - y^2/2h^2)$, неустойчиво начиная с самых малых значений чисел Рейнольдса — бесконечно малые длинноволновые возмущения экспоненциально нарастают со временем [3, 4]. В результате действия нелинейных эффектов могут сформироваться установившиеся периодические и солитонные режимы течения. Рассмотрение такой задачи в полной постановке чрезвычайно сложно; поэтому для ее решения прибегают к различным упрощениям.

Так, при малых расходах ($Re \sim 1$) задачу о волновых режимах удается свести к решению одного уравнения для толщины пленки [5]. Однако при таких расходах в эксперименте установившиеся бегущие волны практически не наблюдаются, и, хотя качественно форма полученных решений [6] этого уравнения хорошо согласуется с формой наблюдаемых в эксперименте волн, количественного согласия нет. Аналогична ситуация и с двухволновым уравнением [7], содержащим только квадратные нелинейные члены и поэтому описывающим поведение только слабонелинейных волн при умеренных расходах. При таких расходах ($Re \sim 10-100$) в эксперименте наблюдаются нелинейные волны [2], амплитуда которых одного порядка со средней толщиной пленки, и для их описания учета только квадратичной нелинейности недостаточно.

В [7, 8] в предположении автомодельности профиля продольной скорости

$$(1) \quad u = 3U(x, t)(y/h(x, t) - y^2/2h^2(x, t))$$

и длинноволновости выведена система уравнений, описывающая поведение возмущений на пленке при умеренных значениях Re

$$(2) \quad \frac{\partial q}{\partial t} + 1,2 \frac{\partial}{\partial x} \left(\frac{q^2}{h} \right) = -\frac{3v}{h^2} q + gh + \frac{\sigma h}{\rho} \frac{\partial^3 h}{\partial x^3}, \quad \frac{\partial h}{\partial t} + \frac{\partial q}{\partial x} = 0,$$

где q — мгновенный расход жидкости в сечении x ; h — мгновенная толщина пленки; g — ускорение силы тяжести; σ — коэффициент поверхностного натяжения.

Слабонелинейные периодические решения системы (2) найдены в [8, 9], отрицательные солитоны, для которых $\int_{-\infty}^{\infty} (h - h_{\infty}) dx < 0$ (h_{∞} — толщина невозмущенной пленки), — в [10].

Цель данной работы — найти сильнонелинейные периодические стационарные волны в пределе (когда волновое число $\alpha \rightarrow 0$), переходящие в положительные солитонные решения $\left(\int_{-\infty}^{\infty} (h - h_{\infty}) dx > 0 \right)$, и сравнить их с экспериментом.

Для стационарной бегущей волны

$$(3) \quad h = h(\xi), \quad q = q(\xi), \quad \xi = x - ct$$

(c — фазовая скорость волны) из второго уравнения системы (2) получим

$$(4) \quad q = q_0[1 + (ch_0/q_0)(h/h_0 - 1)],$$

q_0 — значение расхода в сечении, где $h = h_0$.

Выбирая эти величины в качестве характерных и проведя по ним обезразмеривание из (2) — (4), получим (знак обезразмеривания опускаем)

$$(5) \quad \begin{aligned} -c^2h' + 2,4c(1 + c(h - 1))h'/h - 1,2(1 + c(h - 1))^2h'/h^2 = \\ = -3(1 + c(h - 1))/Re h^2 + h/Fr + We hh''' \end{aligned}$$

$$Re = q_0/v, \quad Fr = q_0^2/gh_0^3, \quad We = \sigma h_0/\rho q_0^2.$$

Штрих означает дифференцирование по ξ .

Для периодических решений в качестве Ψ_0 будем брать среднюю по длине волны λ толщину

$$h_0 \equiv \langle h \rangle = \frac{1}{\lambda} \int_0^\lambda h d\xi.$$

В этом случае, как видно из (4), $q_0 \equiv \langle q \rangle$. Для солитонных решений за h_0 берется значение h на бесконечностях.

В безволновой плёнке $h = 1$ и верно соотношение

$$q_0 = gh_0^3/3v \rightarrow Fr = Re/3.$$

При пренебрежении нелинейными членами из обезразмеренных уравнений (2) следует результат линейной теории — возмущения вида $\exp[i\alpha(x-ct)]$ неустойчивы для значений $\alpha < \alpha_H = \sqrt{3/We}$. Если ввести новую координату $\xi_1 = \xi \sqrt{3/We}$, то для $H = h - 1$ уравнение (5) перепишется в виде

$$(6) \quad (cz - 3F)H + (0,2c^2 - 1,2(c-1)^2)H' - 3H''' = F - z + \\ + 3F(H^2 + H^3/3) - 0,4c^2H'(H + H^2/2) + 9H'''(H + H^2 + H^3/3),$$

где

$$z = \sqrt{3We/Re^2}; \quad F = \sqrt{We/3Fr^2}.$$

Проведенная замена нормирует интервал неустойчивых волновых чисел на единицу. Учитывая, что $\langle H \rangle = 0$, из (6) находим для периодических решений связь между параметрами F и z :

$$F = \frac{z - 9 \langle H'''(H + H^2 + H^3/3) \rangle}{1 + 3 \langle H^2 + H^3/3 \rangle}.$$

Так как солитонные решения являются предельными для периодических при $\lambda \rightarrow \infty$, то для них $F = z$.

Таким образом, задача свелась к нахождению периодических и солитонных решений уравнения (6). Фазовая скорость c — собственное число, а z — параметр. Переход к экспериментально измеряемым величинам осуществляется по формулам

$$Re = (81\sigma^3 F / g\rho^3 v^4 z^7)^{1/11}, \quad c^* = c(\sigma^2 g^3 v / 3\rho^2 F^3 z)^{1/11}, \\ \lambda^* = \frac{2\pi}{\alpha} (\sigma^4 v^2 F^5 / 9\rho^4 g^5 z^2)^{1/11}, \quad A^* = A (243\sigma v^6 F^4 / \rho g^4 z^6)^{1/11},$$

где c^* , λ^* , A^* — размерные фазовая скорость, длина и амплитуда волны.

Периодическую волну с волновым числом α ищем в виде ряда

$$(7) \quad H = \sum_{-\infty}^{\infty} H_n \exp[i\alpha n \xi_1].$$

Так как H — действительная функция, то $H_n = \bar{H}_{-n}$ (черта означает комплексное сопряжение).

Оставляя в (7) первые $N/2$ гармоник и подставляя их в уравнение (6), получим систему $N+1$ уравнений для $N+3$ неизвестных (F , c , H_0 , $H_{\pm 1}$, ..., $H_{\pm N/2}$):

$$(8) \quad H_r = \frac{3F\varphi_n - 0,4c^2\psi_n + 9\chi_r}{cz - 3F + i\alpha n (0,2c^2 - 1,2(c-1)^2) + 3i\alpha^3 n^3}, \\ n = 0, \pm 1, \dots, \pm N/2.$$

Здесь φ_n , ψ_n , χ_n — соответственно фурье-гармоники функций

$$\varphi = H^2 + H^3/3, \quad \psi = H'(H + H^2/2), \quad \chi = H'''(H + H^2 + H^3/3).$$

В силу нормировки функции $H H_0 = \langle H \rangle = 0$. Кроме того, выбором начала отсчета координаты ξ_1 всегда можно добиться, чтобы, например, $\text{Im}(H_1) = 0$.

Таким образом, в системе (8) имеем $N + 1$ нелинейных уравнений с $N + 1$ неизвестными. При фиксированном значении α счет начинался для больших значений z , а в качестве начального приближения использовались результаты [11, 12]. Продвижение в сторону меньших значений параметра z осуществлялось по непрерывности. Для каждого значения α существует такое критическое значение z_* , что решение для $z < z_*$ найти, по крайней мере данным методом, не удается. При выполнении прямого и обратного фурье-преобразования [13] использовались процедуры быстрого фурье-преобразования [13]. При обрывании ряда (7) число гармоник бралось таким образом, чтобы выполнялось соотношение

$$|H_{N/2}| / \sup_{n \leq N/2} |H_n| < 10^{-3}.$$

В зависимости от значений α и z число N менялось в пределах 16—128.

На фиг. 1, для нескольких значений волновых чисел даны зависимости фазовой скорости и амплитуды волн от z (кривые 1—3 соответствуют $\alpha = 0,2; 0,35; 0,5$, кривые 4 — солитонным решениям). Точками для сравнения нанесены данные по солитонным решениям двухволнового уравнения с квадратичной нелинейностью [7], полученные в [11, 12]. Как видно из графика, для больших значений z волны слабонелинейные и результаты хорошо согласуются.

На фиг. 2, 3 показано сравнение расчетных (линия) профилей сильно-нелинейных волн для водоглицериновой пленки ($v = 4,9 \cdot 10^{-6}$ м²/с, $\sigma/\rho = 59 \cdot 10^{-6}$ м³/с², $Re = 7,2$) с экспериментальными (точки) из [14]. На фиг. 2 $\lambda = 34,3$ мм, $c_s = 320$ мм/с, $c_p = 318$ мм/с; на фиг. 3 $\lambda = 18,5$ мм, $c_p = 262$ мм/с, $c_s = 270$ мм/с. Видно, что имеется хорошее количественное согласие.

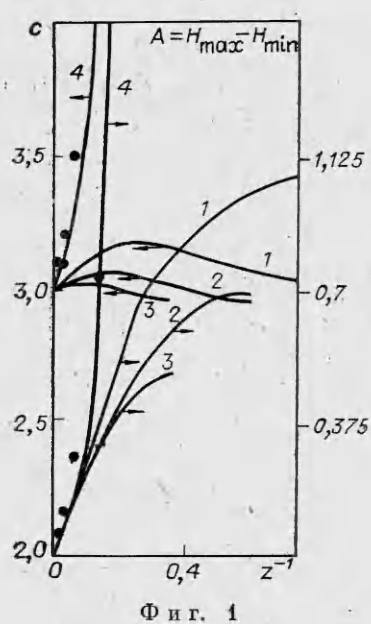
Аналогичное сравнение для воды ($v = 1,03 \cdot 10^{-6}$ м²/с, $\sigma/\rho = 72,9 \times 10^{-6}$ м³/с², $Re = 9,8$) дано на фиг. 4, где $\lambda = 36,8$ мм, $c_p = 260$ мм/с, $c_s = 232$ мм/с (эксперимент из [2]). Согласие несколько хуже, но вполне удовлетворительное.

Как видно из фиг. 2—4, наибольшие расхождения между расчетами с экспериментом приходятся на осциллирующий передний фронт волны. По-видимому, это связано с тем, что предположение (1) достаточно грубо для детального описания тонкой структуры.

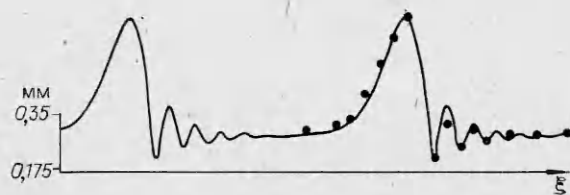
На фиг. 5 показаны обобщенные экспериментальные зависимости скоростей волн от их амплитуды (данные из [2, 15]) для воды ($v = 1,03 \times 10^{-6}$ м/с, $\sigma/\rho = 72,9 \cdot 10^{-6}$ м³/с² — кривая 1) и водоглицериновых растворов (кривая 2 — $v = 2,06 \cdot 10^{-6}$ м²/с, $\sigma/\rho = 40,3 \cdot 10^{-6}$ м³/с², кривая 3 — $v = 11,2 \cdot 10^{-6}$ м²/с, $\sigma/\rho = 55,9 \cdot 10^{-6}$ м³/с²). Соответствующими точками 1—3 показаны расчетные результаты. Хотя при расчетах для данного вещества менялись параметр z и значение α , видно, что расчетные точки практически действительно ложатся на прямые линии.

В расчетах найдены решения, для которых в некоторых сечениях скорости жидкости получались отрицательными — возвратное течение, а также режимы, у которых на гребнях волн скорость жидкости больше фазовой — сверхкритический режим течения. Как видно из (1) и (4), эти ситуации реализуются соответственно для сечений, в которых отклонения от среднего уровня удовлетворяют неравенствам $h < h_{\min} = -1/c$, $h > h_{\max} = (2c - 3)/c$.

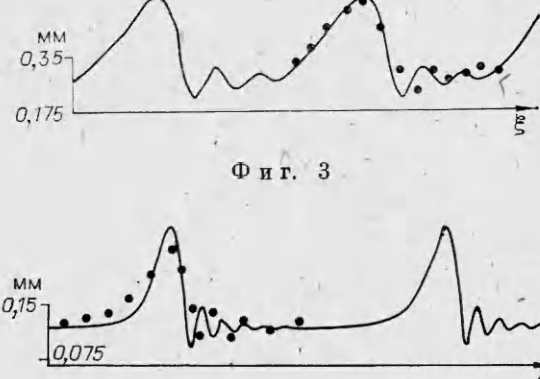
Надо отметить, что при переходе от нормальных волновых режимов к режимам с возвратными течениями во впадинах и к сверхкритическим изменениям зависимости амплитуд волн от скорости не происходит. Так, на фиг. 5 для воды этим режимам соответствуют расчетные точки с амплитудой $a \approx 1$.



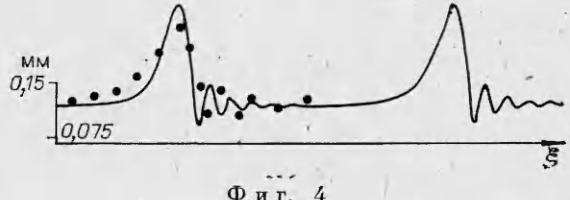
Фиг. 1



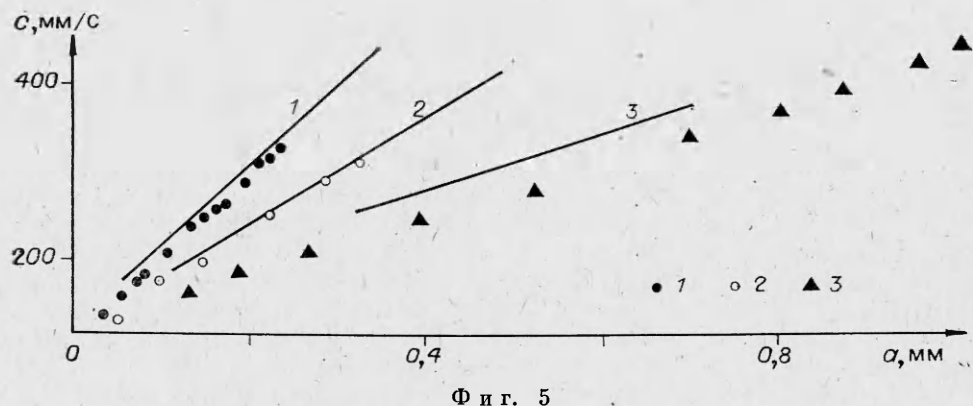
Фиг. 2



Фиг. 3



Фиг. 4



Фиг. 5

В эксперименте такие режимы пока не обнаружены. Возможно, это связано с тем, что сверхкритические и возвратные зоны занимают узкие участки на длине волны и их трудно зафиксировать, а возможно, что появление их в расчетах является следствием сделанного упрощающего предположения (1).

ЛИТЕРАТУРА

- Капица П. Л. Волновые течения тонких слоев вязкой жидкости.— ЖЭТФ, 1948, т. 18, вып. 1.
- Алексеенко С. В., Накоряков В. Е., Покусаев Б. Г. Волны на поверхности вертикально стекающей пленки жидкости. Препринт 36—79. Новосибирск: ИТФ СО АН СССР, 1979.
- Benjamin T. B. Wave formation in laminar flow down on inclined plane.— J. Fluid Mech., 1957, v. 2, pt 4.
- Chia-Shun Yih. Stability of liquid flow down on inclined plane.— Phys. Fluids, 1963, v. 6, N 3.
- Непомнящий А. А. Устойчивость волновых режимов в пленке, стекающей по наклонной плоскости.— Изв. АН СССР. МЖГ, 1974, № 3.
- Цвелодуб О. Ю. Стационарные бегущие волны на пленке, стекающей по наклонной плоскости.— Изв. АН СССР. МЖГ, 1980, № 4.

7. Алексеенко С. В., Накоряков В. Е., Покусаев Б. Г. Волнообразование при течении пленки жидкости на вертикальной стенке.— ПМТФ, 1979, № 6.
8. Шкадов В. Я. Волновые режимы течения тонкого слоя вязкой жидкости под действием силы тяжести.— Изв. АН СССР. МЖГ, 1967, № 1.
9. Шкадов В. Я. Уединенные волны в слое вязкой жидкости.— Изв. АН СССР. МЖГ, 1977, № 1.
10. Шкадов В. Я. К теории волновых течений тонкого слоя вязкой жидкости.— Изв. АН СССР. МЖГ, 1968, № 2.
11. Цвелодуб О. Ю. Стационарные бегущие волны на вертикальной пленке жидкости.— В кн.: Волновые процессы в двухфазных средах. Новосибирск: ИТФ СО АН СССР, 1980.
12. Цвелодуб О. Ю. Солитоны на стекающей пленке при умеренных расходах жидкости.— ПМТФ, 1980, № 3.
13. Гапонов В. А. Пакет подпрограмм быстрого преобразования Фурье с приложениями к моделированию случайных процессов. Препринт 14—76. Новосибирск: ИТФ СО АН СССР, 1976.
14. Накоряков В. Е., Покусаев Б. Г., Алексеенко С. В. Десорбция слаборастворимого газа из стекающих волновых пленок жидкости.— В кн.: Расчет тепломассообмена в энергохимических процессах. Новосибирск: ИТФ СО АН СССР, 1981.
15. Накоряков В. Е., Покусаев Б. Г., Алексеенко С. В. Стационарные двумерные каптирующиеся волны на вертикальной пленке жидкости.— ИФЖ, 1976, т. 30, № 5.

Поступила 25/VI 1984 г.

УДК 532.582

О ДВИЖЕНИИ КРУГОВОГО ЦИЛИНДРА В ВИБРИРУЮЩЕЙ ЖИДКОСТИ

B. L. Сеницкий

(Новосибирск)

В [1] изложены качественные результаты экспериментов с вибрирующими жидкостями и твердыми телами. В частности, указано, что тело, помещенное в цилиндрический сосуд с жидкостью, плотность которой больше, чем плотность тела, может тошнуть, если сосуд совершает колебания вдоль своей оси. В связи с этим в данной работе рассматривается плоская задача о движении в поле силы тяжести кругового цилиндра, находящегося в идеальной несжимаемой жидкости, ограниченной извне плоской поверхностью колеблющейся стенки (см. фигуру). Первоначально жидкость и цилиндр покоятся. В последующие моменты времени течение жидкости потенциально и симметрично относительно оси x , цилиндр движется поступательно. Найдены условия, при выполнении которых цилиндр, плотность которого меньше, чем плотность окружающей его жидкости, не всплывает, а тонет.

1. Пусть x , y — инерциальная система прямоугольных координат в плоскости течения; i и j — единичные векторы, направления которых совпадают соответственно с направлениями осей x и y ; t — время; a — радиус цилиндра; $O(L, 0)$ — точка пересечения плоскости течения с осью цилиндра; h — расстояние от точки O до линии пересечения плоскости течения с поверхностью стенки ($h > a$); h_0 — значение h при $t = 0$; $H = L - h$; $\hat{x} = x - H$; $r = \sqrt{(\hat{x} - h)^2 + y^2}$; θ — угол с вершиной в точке O между векторами i и $(\hat{x} - h)i + yj$; $\rho_{\text{ц}}$ — плотность цилиндра; $\rho_{\text{ж}}$ — плотность жидкости; f — произвольная функция от t ; $g = -gi$ — ускорение свободного падения.

Будем рассматривать течение жидкости и движение цилиндра относительно системы координат x , y , связанной со стенкой. Потенциал Φ скорости течения, давление p и расстояние h удовлетворяют следующим уравнениям и условиям:

$$(1.1) \quad \frac{\partial \Phi}{\partial t} + \frac{1}{2} \left(\frac{\partial \Phi}{\partial \hat{x}} \right)^2 + \frac{1}{2} \left(\frac{\partial \Phi}{\partial y} \right)^2 + \frac{p}{\rho_{\text{ж}}} + \left(g + \frac{d^2 H}{dt^2} \right) \hat{x} = f;$$

